データ相似性分析に基づく崩壊確率推定法

防衛大学校 建設環境工学科 学生員 渋谷 一 正会員 香月 智 正会員 深和 岳人

1. 緒言

本研究は,山地における最上流部への流入土砂量に影響する山腹崩壊の予測を,航空写真から得られるモニタリングデータおよびこれに付随する降雨データ等を用いて,データ類似度分析に基づき崩壊確率を算出する方法について考察したものである.

2. データ相似性分析による崩壊確率

接度 グリッドの東経 (カリッドの東経 (東京 グリッドの東経 (東京 グリッドの東経 (東京 グリッドの東経 (東京 村下の (大工)、針葉樹 (自然)、広葉樹 (その他) 地質 グリッドの地質 (中海・狭積際 三波川 帯、和泉圏駐、領家帯、その他) 第、和泉圏駐、領家帯、その他) 第、和泉圏駐、領家帯、その他) 第、和泉圏財、領家帯、その他) 第、23、339、550、552のグリッドの前壊状況 標高 グリッドの場配 クリッドが向いている斜面方向 (8方向と 平坦の9種) リモートセンシグデータ Landsat5号のH148.29のTMデータ(取得周 波敦帯7パンド) グリッドが有する各パンドの緯度 ビークまでの3時間雨量 流域内の降雨観測点13ケ所をティーセンビフまでの6時間雨量 流域内の降雨観測点13ケ所をティーセンビフまでの6時間雨量 補間し、各グリッドに割り当てた値

表-1

使用データ

H11のグリッドの崩壊状況

図-1 対象流域

2. ノーブ伯以圧力がによる朋格

1)観測データ

本研究は、図-1 に示す愛媛県重信川上流域の砂防区域内の崩壊記録を対象としている。ここでは、昭和 23年、39年、50年、52年、および平成 11年の崩壊状況が航空写真として記録され、表-1のデータが 50m間隔、50、569グリッドでデジタルデータ化されている。なお、平成 11年のデータは同年 9月 14~15日の豪雨直後の崩壊情報(y_i)も含まれている。

2) データ相似性分析と崩壊確率

表-1 に示した素因・誘因データは,図 -2(a)に示すように,因子(x_i)は任意 の数値範囲を有するデータ列となって いる.これを,各々の数値が $0.0\sim1.0$ の 範囲の数値を有する規定データ(\bar{x}_i)に変換する(図-2(b)).規定データは 21 次元の超空間に点在するが,図-2(c) に示すように,データ間の遠近によって類似度を測ることができる.すなわち,

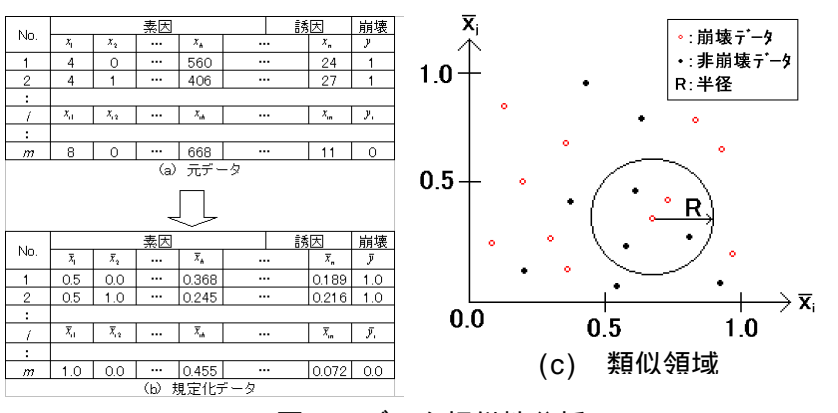


図-2 データ相似性分析

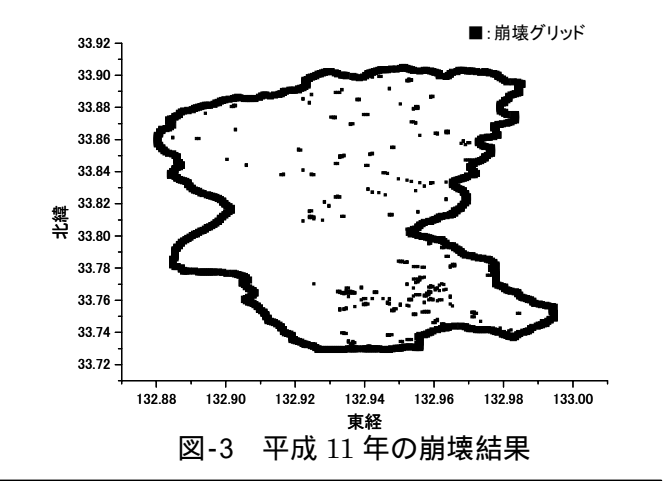
類似度はデータjとkの間に次式によるユークリッド距離で与えられる.

$$r_{jk} = \sqrt{\sum_{i=1}^{n} (\bar{x}_{ij} - \bar{x}_{ik})^2}$$
 (1)

ここで,r:類似度.この際,ある閾値半径 R を設定し,データ j と,R を超えない範囲の類似度を有するデータを選択する.そのうえで,崩壊確率を次式のように定める.

$$p_{si} = n_{fs} / (n_s + 1)$$
 (2a)

$$p_{ei} = n_f / n_s \tag{2b}$$



キーワード 斜面崩壊,データ相似性分析,崩壊確率

連絡先: 〒239-8686 神奈川県横須賀市走水 1-10-20 防衛大学校 建設環境工学科 TEL 046-841-3811 FAX 046-844-5913

ここで, p_{sj} : データj 周辺の統計崩壊確率, p_{sj} : データj 周辺の推定崩壊確率, n_s : $r_{jk} \le R$ を満足するデータ数, n_f : n_s 個の中での崩壊データ数, n_{fs} : n_f にデータj が崩壊している場合に 1 を加えたもの.

すなわち,データjに関して y_j と p_{sj} とが一致するとは,素因・誘因データの類似性と崩壊の発生・非発生が良く一致することを示す. p_{ej} は,自分自身の結果は未知であるが,類似するデータから自分自身の崩壊・非崩壊を推定するものであり,これと y_j との一致度が高いとは,推定の適中率が高いことを表す.

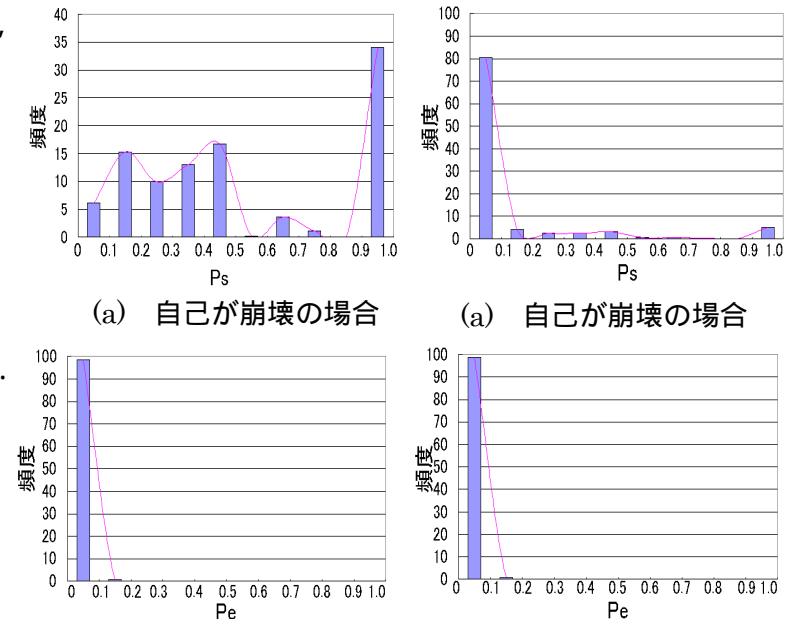
3. 分析結果と考察

図-3 に,平成 11 年の豪雨によって実際に 崩壊したグリッドを表す.南東部に集中する 崩壊箇所は,表川流域上流部である.また,

北部は重信川本川上流部であるが,ここではほぼ均等に散在して崩壊箇所が現れている.なお,全 50,569 グリッド中,崩壊 グリッドは 444 グリッド(0.8%)である.

図-4(a),(b)に,それぞれ,崩壊地点および非崩壊地点に対する統計崩壊確率の頻度分布を示す.ただし,半径はR=0.1としている.図-4(a)では,1.0に集中することが望ましいが, $p_s=0.1\sim0.5$ 付近のグリッドがかなり存在する.逆に,図-4(b)の非崩壊データの場合には,崩壊確率0.0に集中しており,良好な類似性がある.図-5は,図-4(a),(b)を基に各グリッドの統計崩壊確率を地図上にプロットしたものである.図-3の崩壊発生事実に概ね一致するように,崩壊確率の高い地域が分布していることがわかる.

図-6は,推定崩壊確率について,図-4と同様に分析したものである.図-6(b)の傾向は図-4(b)とほぼ同様であるが,崩壊地点をまとめた図-6(a)については,図-4(a)に比べて崩壊確率が0.0側にシフトしている.しかし,図-7に示す,推定崩壊確率を地図上へのプロットしたものでは,図-5に比べて全体的に崩壊確率が低く推定されるものの,図-3の事実の分布と同様に,



(b) 自己が非崩壊の場合

(b) 自己が非崩壊の場合

図-4 統計崩壊確率の一致度 図-6 推定崩壊確率の一致度

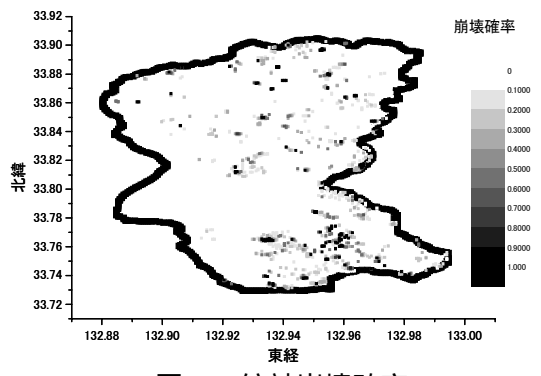


図-5 統計崩壊確率

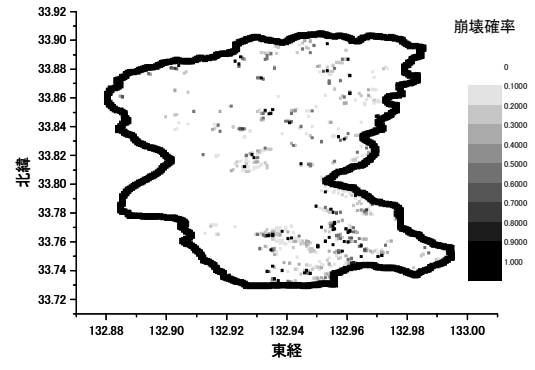


図-7 推定崩壊確率

概ね崩壊確率の高い地域に一致するように,崩壊確率の高い地域が分布している.

参考文献

1)片出ら:ニューラルネットワークによる山地源流部の斜面崩壊予測に関する研究,第 29 回関東支部技術研究発表会講演概要集,pp.34-35,2001 2) T.コホネン:自己組織化マップ,シュプリンガー・フェアラーク東京株式会社,1996.6